

진동특성을 고려한 공작기계 초고속 주축 설계

Design of High Speed Machine Tool Spindle Regarding Vibration Characteristics

○ 김 종 관 * 박 보 용 **

1. 서 론

현대 산업의 급속한 발전과 함께 각종 기계 부품들의 고정밀도가 요구되고, 이에 따른 기공기술들이 기발 전개되고 있다.

특히, 근래에는 양공·우주·자동차·전자·생명공학 부분에서 신소재나 경합금 재료의 부품들의 비중이 증가되고 있으며, 이에 상응하기 위하여 고정밀, 초고속 공작기계 주축에 의한 가공기술이 요구되고 있다.

기존 공작기계에서 절삭은 Turning, Milling, Boring 등 절삭가공을 거쳐 최종 경밀가공을 위한 Grinding을 행하고 있으나, 초고속 주축 체증을 통한 Grinding수준의 고정밀도가 공부품을 절삭가공한으로 인물수 있을것이며, 제한된 범위의 제로들은 연삭을 생각할 수 있을것으로 기대된다.

또 가공능률을 향상으로 생산성을 향상시킬 수 있고, 경합금 재료들은 고속영역에서 절삭 저항이 감소하는 특성으로 Drilling, End milling 등 소형공구에 의한 고속절삭 작업에 큰 효과를 기대할 수 있어 주축 고속화 요구는 더욱 증가되고 있다.

그러나, 초고속 절삭의 실현을 위해서는 주축과 bearing의 정.동강성 및 진동특성을 고려한 공작기계 주축 설계가 요구되며, 이를위한 연구 개발에서 동시에 해결한 주축 bearing의 선택, 윤활, 낭각문제, 구동 Motor선택등 이에 부응하는 설계 기술의 향상이 요구되고 있다.

초고속 절삭가공이 가장 요구되는 Machining center용 주축 현황을 살펴보면 일본의 경우 NT40-8000/12000 rpm (DN 64-96mm) 금이 주로 사용되고 있으며, NT40-25000rpm까지 출현하고 있으나, 국내에서 사용되고 있는 주축은 최대 DN치 50mm 이내(NT40-6000rpm)로 크게 뒤지고 있다.

공작기계 주축계 설계 및 이론적연구 현황을 살펴보면, 한편으로 국내의 경우, 주축계 동적 성능과 구조구성요소의 감쇠능, Bearing 및 주변구조의 영향, 반경방향과 Moment방향을 고려한 주축계 수학 Modeling에 의한 동적특성 연구^[1], 유한요소법에 의한 주축계 Modeling으로 동적특성 해석^[2], 구동모터스부 고유진동수 측정에 의한 진동소음 저감 개선 방안 제시^[3], 주축계 동적 성능을 절삭시험을 통한 평가^[4], NT40-8000rpm 주축설계를 목표로 Grease와 Air oil 윤활실험을 실현 비교하여 Air oil 윤활의 소요^[5], 주축계 정.동강성 특성 해석과 열변형 특성을 고려한 Spindle unit의 설계^[6], NT40-12000rpm (주축직경 65mm)의 시작용 주축기발^[7]을 하기위해 이르렀다.

다른 한편으로, 외국의 경우에는 주축계 동특성의 수학적 modeling에 의한 해석^[8], 전반주축과 공작물의 고유 진동수 및 진동형태의 파악^[9], 주축설계 최적Span계산과 Deflection 계산^[10], 주축강성이 영향에 영향을 주는 인자들의 공작을 계정함에 미치는 영향 연구^[11], DN100mm 주축설계를 목표로 Chatter강성, 안정성, 동력손실, 운도, 수평, 윤활 낭각문제를 고려한 연구^[12], 주축 정적강성 경의 및 2.3겹지지 주축의 강성 해석^[13], Multiobjective Design Optimization 기법의 발표^[14], 주축 100-10000rpm까지 회전속도 범위에서 운도상승 및 손실동력을 검토하여 주축 최적화 설계자료 제시^[15], 특히 DR.Aachen의 SPILLAN^[16]는 Spindle-Bearing-System의 정.동적 Bearing의 거동, 고유진동수, 진동형태 등을 Computer를 이용한 전산 Program으로 N.Wech에 의해 발표되었고, 최근 독일의 TU Berlin의 G.Spar/C.H.Lee^[17]는 Structural Modification Method에 의한 주축계 경.동거동률을 계산하는 최적 설계기법을 개발하여 주축과 bearing의 변화

되는 Input parameter에 의해 주축 및 bearing 종류와 bearing span을 결정하는 전산 Program을 개발하여, 그 결과를 실제 절삭가공에 의한 진원도 및 표면조도에 의해 평가하는 방법을 제안하였다.

그러나, 이상의 모든 연구가 초고속 범위(DN 100mm이상)에서의 적용여부는 언급이었으며 실험장치 제작등의 문제로 실험적 근거 제시가 없는 실정이다.

본 논고에서는 Radial 및 Axial 하중을 동시에 받을수 있고, 예상에 의해 주축강성을 증대할수 있으며, Ball수의 증가로 부하능력을 향상시킨 초정밀 초고속용 Angular ball bearing을 조합 사용하고, 고속회전에 지금까지 개발한 ball bearing 윤활방법중 가장 효과적인 간헐적인 Air oil 윤활법으로, 계속 Ball을 넣자, 윤활시켜주는 Air oil 윤활방법의 차용과, 국내 공작기계 제조사들이 주로 사용하는 일본 FANUC AC Spindle motor (FANUC-H type: 8000-15000rpm)를 사용해서 초고속 주축의 최적 설계조건을 제시하기위한 기초연구 단계로 NT40-12000rpm 금의 Machining center용 Cartridge type의 Spindle unit 개발을 통하여 주축설계에 따른 문제점과 연구용 주축제작의 생산 기술적 문제점 및 진동특성을 검토 하고자 한다.

2. 공작기계 주축의 초고속범위 정의 및 특징

2-1. 주축 초고속범위 정의

주축 초고속범위는 절삭속도와 주축 회전수로 정의^[18] 될수 있으며
절삭속도로 표시하면

고 속 : 610~1800 m/min (10~30m/sec)

초 고 속 : 1830~18300 m/min (30~300m/sec)

극 초고속 : 18300 m/min (300 m/sec) 이상 이고

주축회전수로 표시하면 DN 100mm 이상을 초고속으로 구분하고 있다.

일본 공작기계 기술진흥 제단은 절삭속도 50m/sec, 주축 회전수 DN 100mm 이상을 초고속으로 정의하고 있다. 본 논고에서도 장기수준에 해당하는 NT40-12000rpm을 개발목표로 삼고있다.

2-2. 초고속 절삭의 특징 및 개발하고자 하는 이유

초고속 절삭의 특징으로는 절삭량을 증대시킬수 있고, 절삭온도 상승에 따른 열변형과 가공변질층을 감소시킬수 있고, 가공면 조도 향상과 절삭 부하감소 및 구성 인선의 이체로 공구비용의 감소등을 들수있다.

그러나 다양한 가공물의 제작과 가공조건에 대응할수 있고, 경합금 신소재의 절삭문제 해결, 소형공구의 적정 절삭조건을 유지하고,重절삭에서 重절삭까지 동일기계에서 처리하여, 절삭속도 상승으로 가공시간 단축으로 생산성 향상등이 현재 생산공장에서의 요구인파, 이에 부응 할수있도록 주축계 경.동강성/진동특성을 고려한 高HP를 주축기발을 목표로 하고자 한다.

3. 초고속 절삭가공 및 주축성능에 따른 문제점

3-1. 경식금구 현황 및 문제점

절삭에 사용되는 공구 절삭속도의 최대 대응범위는 H.S.S 의 경우 50m/min 이나, Coated H.S.S 80 m/min 이나, 초경합금 공구 150m/min 이나, Coated 초경(Tin,TiC 등) 200m/min, Ceramic공구 300m/min, Ceramic공구 250~500m/min 범위로 초고속 절삭범위에 월등히 미치지 못하고 있는데, 절삭속도 1830m/min 까지 대응하는 신소재의 절삭금구 개발이 요구된다.

Fig 1 는 절삭 금구체로의 절삭속도와 이송량의 대응범위를 나타내고 있다.

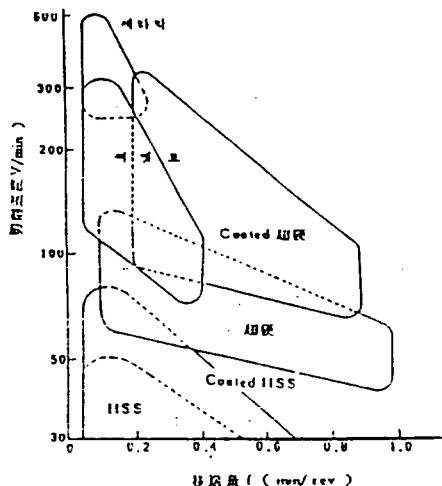


Fig 1. 경식금구의 사용범위(절삭속도:이송량)

3-2. 구동 Motor 현황 및 문제점

지금까지 국내에서 주로 사용되고 있는 주축 구동용 Spindle motor의 최고 회전속도 범위는 다음과 같다(일본 FANUC AC Spindle motor).

FANUC-S type (4500 ~ 8000 rpm).

FANUC-H type (8000 ~ 15000 rpm).

FANUC-VH type (15000 ~ 20000 rpm).

주축은 고속회전과 함께 일정한 Torque를 갖추어야 하는데 회전수 증가에 따른 충격 및 Torque저하로, 현재 사용되는 Motor에 의한 초고속 절삭에서 뒷걸蹠은 불가능하며, 경합금등 절삭재량이 비교적 적은 재료의 초경밀 가공에만 주로 사용 되어지고 있다.

주축의 동적특성을 고려해서 기밀률 목표로 하는 주축에 적용되는 Motor 특성을 비교하면 다음과 같다.

Table 1. FANUC AC Spindle motor 특성[19]

	Torque (연속 5.5kw) kg.m	기저 속도 (Torque 저하시작) rpm	충격저하 시작속도 rpm	최고속도 (출 력) rpm/kv
6 S	3.57	1500	4500	6000 (3.7KV)
6 H	3.57	1500	6000	12000 (2.2KV)
6 VH	1.07	5000	-	20000 (5.5KV) (Air oil 윤활- bearing)

Fig 2는 적용하고자 하는 FANUC spindle motor (SH)의 Torque 출력-Speed 특성도이다.

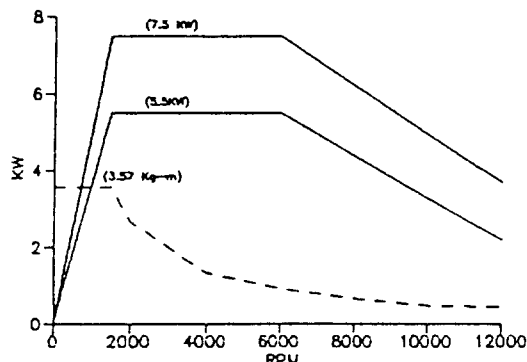


Fig 2. FANUC SH type Torque 출력 - Speed 특성도

3-3. 고속을 bearing의 종류와 경합 rolling bearing

1) 공작기계용 bearing의 종류 및 특징

공작기계 주축에 사용될 수 있는 bearing의 종류와 특징은 다음과 같으며, 절삭기공의 기후한 조건에서 Radial 및 Axial 하중을 받을 수 있는 Rolling bearing 이 가장 널리 사용되고 있다.

• 동압유체 bearing : 주축 회전운동에 의해 형성되는 윤활 유체압력에 의해 부하를 지지하는 방식.

• 경압유체 bearing : bearing 외부에서 일정압력이나 일정유량의 윤활유를 공급하여 축을 지탱한다. 회전경도가 높고, 배설속도이므로 수명이 영구적이나, 고속운전에서 부하의 발생이나 기포발생 때문에 사용에 문제가 있다.

• 경합기계 bearing : 유체대신 기계를 사용하여, 기계는 점성이 낫고 마찰열의 발생이 적어 고속회전에 적합한 형식이나, 기계는 압축성이므로 부하용량은 크게할 수 없다.

• 자기 bearing : 전자식의 저항으로 축을 지지하며, 비접촉식이므로 수명이 영구적이고, 고속회전에 적합하다. 전자손실에 의한 발열 방지를 위해 냉각이 필요하다.

- Rolling bearing**: Ball, Roller의 전동체를 사용하는 실용적인 방법으로, 고온·저온에서 사용할 수 있고, 축방향 하중도 받을 수 있고, 그온·저온에서 효과적 운항 및 낭각을 험하는 것이 문제이다.

Table 2는 각종 공작기계용 bearing에 요구되는 성·동적 특성 및 실용성을 비교한 내용이다.

Table 2. 각종 bearing의 특성 비교^[20]

	동압 윤활	정압 윤활	정압 기체	자기	Rolling
고속 회전성	X	△	0	0	△
회전 정도	0	0	0	0	△
부하 용량	0	0	△	0	0
강성	0	0	△	0	0
감쇄 비	0	0	△	0	X
발열	X	△	0	X	0
수명	0	0	0	0	X
보수성	0	0	△	△	0

0: 아주 앙호, 0: 앙호, △: 보통, X: 나쁨.

2) 공작기계용 경밀 Rolling Bearing

공작기계 초고속은 Rolling bearing은

- Angular ball bearing.
- Cylindrical roller bearing.
- Thrust angular ball bearing 이 사용되며, 이중 주축의 하중조건에 가장 적합한 Angular ball bearing의 고조화사용이 사용되고 있는 개별별 현황은 다음과 같다.

· NSK : 70 A/C 계열. BNC 19 계열.
72 A/A5/C 계열. BNC 10 계열.

79 A5/C 계열.

· FAG : 72 B 계열. HS 70 C/E 계열.
73 B 계열. HS 719 C/E 계열.

B 719 C/E 계열.

B 70 C/E 계열.

B 72 C/E 계열.

· SKF : 70 CD/ACD 계열.
72 CD/ACD 계열.
719 CD/ACD 계열.

단, C, CD : 접촉각 15°

A5, ACD, E : 접촉각 25°

A : 접촉각 30°

B : 접촉각 40°

3-4. 초고속 주축 bearing의 윤활방법과 Air oil 윤활

1) 각종 윤활방법 및 고속경식 한계범위

결석가공은 주축의 큰 부하용량과 주축강성을 요구하여 이에 가장 적합한 bearing으로는 Rolling bearing을 들 수 있으며, 이들의 윤활방법으로 Grease윤활, Oil mist윤활, Oil air 윤활, Jet윤활방식이 있으며, 각각의 고속경식 한계치는 다음과 같다.

- Grease 윤활 : DIN 60만
- Oil mist 윤활 : DIN 200~250만 까지 실용화
- Oil air 윤활 : DIN 120만
- Jet 윤활 : DIN 300만까지 달성되었고, 양후 Ceramic ball 사용으로 DIN500만 까지 가능에상

이들 윤활법은 주축 온도상승과 직접 관련되는 사양으로 bearing 종류에 따라 약간 다르나 DIN 1만 상승시 Grease 윤활의 경우 0.5°C, Jet 윤활과 Oil mist 윤활의 경우 0.5°C의 온도 상승을 가져온다.

본 연구용 주축개발에서는 초고속회전 윤활에 적합하고, 공작기계에 실제 적용시 경제성을 고려하여, 최근 개발된 Air oil 윤활 방법을 선정하고자 한다.

2) Air oil 윤활^[21]

Air oil 윤활 특징은 높은 회전수에서도 낮은 온도상승을 실현할수 있고, 간접적으로 경량 Piston에 의해 미량의 도출된 윤활유가 압축공기의 의해 굽유관내에서 연속적으로 압송되므로 안정된 온도상승과, 이에 따른 주축계의 동적특성의 안정성 및 내압으로 회부에서 먼지나 결석액의 침입을 막지 할수 있어 환경오염이 없으며, 소모되는 윤활유가 극히 적어 경제적이다.

Fig 3은 NTN MUL Type Air oil unit의 회로도이다.

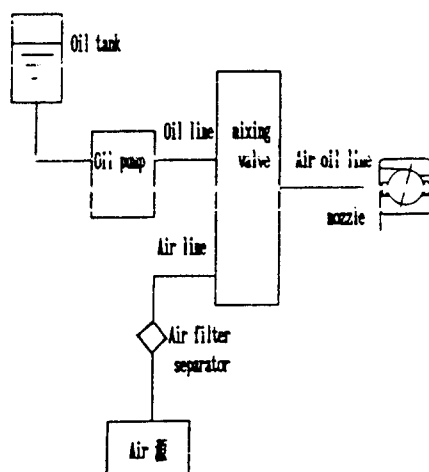


Fig 3. NTN MUL Type Air oil unit 회로도

4. 연구용 주축 설계식 및 가설/진동특성 해석 이론

4-1. 주축 설계식 및 협상

1740-12000rpm 연구용 Machining center 주축기반에서 고려된 설계仕様은 다음과 같고
국내 제작기종과 조립의 호환성을 갖기 하기위해 기구적 내부 치수는 동일하게 하였고
Cartridge type 으로 설계하였다.

- * 4.0 bearing : ESH01SC.T.P4.U, Angular ball bearing
- * AC Spindle motor : FANUC GH-1500
- * Air oil unit : MAUJ-5
- * Precision locknut : ZMV type
- * Locking element : TII type
- * Screw belt : SIS type
- * Unbalance 사용한도 : 62.5($\text{er}=2.5 \text{ mm/sec}$)
- $\text{er}=2.5/10=0.002\text{mm}(12000\text{rpm} \text{ 경우})$
- * 최대상승운동 : 18°C 이하

Fig 4는 기별 하고자 하는 Cartridge type의 연구용 spindle unit의 형상이다.

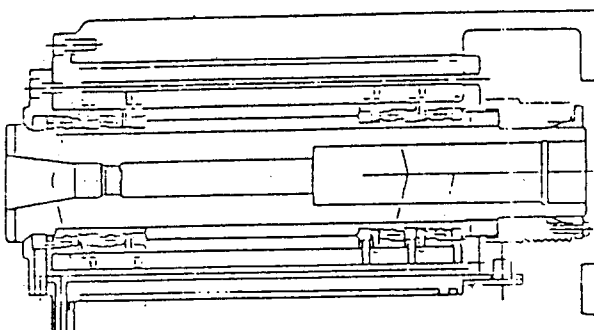


Fig 4. 연구용 Spindle unit

4-2. 주축가설/진동특성 해석이론

연구용 주축의 동·정강성의 수학적 해석을 위하여 Fig5와 같이 Equivalent spindle system으로 가정하면, 주축의 정적 Compliance, Stiffness 및 동적 Stiffness를 다음과 같이 나타낼수 있다.

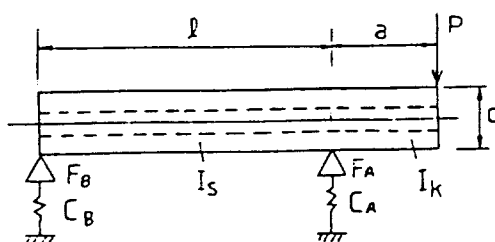


Fig 5. Equivalent spindle system.

이 System에서 bending에 의한 Spindle deflection은,

$$\delta_1 = \frac{P}{EI} \frac{x^2}{3} (x+C) = \frac{P}{EI} \frac{x^3}{3} (1 + \frac{1}{\lambda}) \quad \dots \dots \dots (1)$$

$$\text{단, } \lambda = \frac{1}{C} , \quad 1 = \frac{\pi^2}{64} (\text{cm}^4) : \text{원}$$

bearing 편향에 의한 Spindle misalignment는

$$\delta_2 = \delta_{rA} (1 + \frac{1}{C}) + \delta_{rB} \frac{1}{C}$$

$$= \delta_{rA} (1+\lambda) + \delta_{rB} = \frac{P}{C_A} (1+\lambda)^2 + \frac{P}{C_B} \lambda^2 \quad \dots \dots \dots (2)$$

$$\text{단, } \delta_{rA} = \frac{F_A}{C_A} = \frac{P(1+\lambda)}{C_A} : A \text{ Bearing radial deflection.}$$

$$F_A = P \frac{1+\lambda}{C} = P (1+\lambda) : A \text{ Bearing Radial reaction.}$$

$$C_A = \frac{F_A}{\delta_{rA}} = \frac{P(1+\lambda)}{\delta_{rA}} : A \text{ Bearing Stiffness.}$$

$$\delta_{rB} = \frac{F_B}{C_B} = \frac{P}{C_B} \lambda : B \text{ Bearing radial deflection.}$$

$$F_B = P \frac{1}{C} = P \lambda : B \text{ Bearing thrust reaction.}$$

$$C_B = \frac{F_B}{\delta_{rB}} = \frac{P}{\delta_{rB}} : B \text{ Bearing Stiffness.}$$

Spindle nose에서 주축 전체 deflection은

$$\begin{aligned} \delta &= \delta_1 + \delta_2 \\ &= \frac{P}{3EI} x^2 (x+C) + \frac{P}{C_A} (1 + \frac{1}{C})^2 + \frac{P}{C_B} (\frac{1}{C})^2 \\ &= P \left[\frac{x^3}{3EI} (1 + \frac{1}{\lambda}) + \frac{1}{C_A} (1 + \lambda)^2 + \frac{1}{C_B} \lambda^2 \right] \quad \dots \dots (3) \end{aligned}$$

Spindle의 Static Compliance (γ)는,

$$\gamma = \frac{\delta}{P} = \frac{x^3}{3EI} + \frac{x^2 C}{3EI} + \frac{(1+\lambda)^2}{C_A} + \frac{\lambda^2}{C_B} \quad \dots \dots (4)$$

$$(1) \quad (2) \quad (3) \quad (4)$$

윗식을 기별 설계요소 영향을 고려하여 구분하면 다음과 같다.

(1) 암 : Cantilever (overhang) beam 설계 영향요소

(2) 암 : Spindle 설계 영향요소

(3) 암 : A bearing 설계 영향요소

(4) 암 : B bearing 설계 영향요소

윗식에서 모든 요소가 최적값을 가질때 Spindle nose의 deflection은 최소가 되고
그것도 최소가 된다.

이것이 주축 최적화의 기본식이 되며, 주축 정격강성의 역수로 나타난다.

주축 nose에서 Static stiffness (R: Radial 강성)는,

$$R = \frac{1}{Y} = \frac{P}{\delta} \quad \dots \dots \dots (5)$$

즉, nose deflection이 1% 되는 하중으로 정의되며, 이들 관계는

$$R_{max} = \frac{1}{Y_{max}} = \frac{P_{constant}}{\delta_{max}} \text{ 가 된다.} \quad \dots \dots \dots (6)$$

즉, 일정하중에서 Y_{max} , δ_{max} 이어야, R_{max} 이 될수 있다.

정밀공작의 경우 주축 경직강성은 100kN/mm 이상이어야 한다.

주축의 동적강성(Rd)은 주축질량과 회전수 개념이 포함되고 다음식으로 구해질수 있다.

$$R_d = m^2 \omega \sqrt{(1 - (\frac{\omega}{\omega_0})^2)^2 + (\frac{\omega}{\omega_0})^2} \quad \dots \dots \dots (7)$$

$$= \frac{I}{m} \sqrt{(1 - \lambda^2)^2 + \frac{1}{\lambda^2}} = 2\lambda$$

$$\text{단, } \xi = \frac{C}{C_0} = \frac{C}{2} \sqrt{I/m} ; \text{ 공작기계 } 0.02 - 0.03$$

$$C = 2 \sqrt{I/m}$$

$$\lambda = \frac{\omega}{\omega_0} \text{ (외력에 의한 진동수)} \\ \omega_0 = \frac{C}{m} \text{ (고유 진동수)}$$

$$m^2 \omega = \frac{I}{m} = I \text{ (kg/cm)} \\ ; \text{ Spring 상수} (= \frac{I \omega^2}{l} : G = 8 \times 10^10 \text{ (kg/cm}^2\text{) steel})$$

상기식 (1) - (7)을 이용하여 양구용 주축설계시 경.동강성 및 진동특성을 고려하여 주축 nose에서 전체 deflection(8)을 2% 이내의 범위에 들도록 해석 설계하였다.

5. 결론

NT40-12000 rpm 고속 공작기계 주축기반설계의 기초연구로, bearing으로 지지되고 고속으로 회전하면서 절삭가공을 하야하는 주축의 고속절삭 조건에 부응하는 절삭공구의 개발과, 고속회전 시킬수있는 구동 motor 선정의 문제점을 제시하였고, 초경밀 초고속 Angular contact bearing의 적용으로 비교적 큰 부하응답에도 요구 수명시간을 유지할수있고, Air oil 윤활방법으로 발열을 최소화 할수있는 설계사항을 제시하였고, 고속회전에 수반되는 진동문제 해결을 위해 주축계의 경.동강성을 고려하면서 주축기공 형상공학의 향상과, 특수한 locking element 사용으로 Unbalance 하용한도 (2.5급)의 주축 설계오차 1.5% 이내에 들도록 설계사항을 결정하여 제작도면을 완성하였다.

参考文献

- [1]. 須賀豊 外 "工作機械 主軸系の動特性", 日本機械學會 論文集, vol 50 no 460, p2409-2417, 1984.
- [2]. 須賀豊, "Bearing 非線形 特性을考慮한 主軸系 動特性 解析研究", 서울大 碩士論文, 1988.
- [3]. 이다세 外 "工作機械 振動 雜音低減 研究", IJMM, UCE71-846C, 1986.
- [4]. 李長武, "工作機械의 劇의 性能試驗 및 評價에 관한 研究(1)", 大韓機械學會 論文集, vol 9 no 2, p190-202, 1985.
- [5]. 李厚群 外 "高速, 高精度 工作機械 設計技術에 관한 研究(1)(2)", IJMM, UCN 040-7-50-C, 1986-7.
- [6]. UCN 138-1160-C, 1988-6.
- [7]. 朴和英 外 "超精密 Spindle Unit 開發", IJMM, UCN 162-1229-C, 1989-5.
- [8]. 大宇(李在允) "工作機械 高速回轉 主軸開發", 大韓機械學會 90 動力學 學術 講演集 抽録集 p15-22, 1990.
- [9]. Heinrich Junkel, "Das Dynamische Verhalten des Systems Hauptspindel Lagerung einer Werkzeugmaschine: 主軸系 動特性 Industrie-Kreisler 89, Jg. Nr. 6v, 20, 1, 25-28, 1967.
- [10]. R. Hebel, "Auslegung von Hauptspindeln in Werkzeugmaschinen: 工作機械 主軸의 解析", Werkstatt und Betrieb 108-5, 305-314p, 1975.
- [11]. H.Pittroff, J.A. Rimrott, "Stiffness of Machine Tool Spindle", ASME paper, 77-WA-Proc-42, p1-12, 1977.
- [12]. J. Tlustý, "Nonlinearities in Spindle Bearing and Their Effects", Annals of CIRP, v35, p269-273, 1986.
- [13]. Yang Shuzi, "A Study of the Static Stiffness of Machine Tool Spindles", Int. J. Mach. Tool Des. Res., vol 21 no 1, p23-40, 1981.
- [14]. K. Yoshimura, T. Hamada, Y. Lyura, K. Hitomi, "Multiobjective Design Optimization of Machine-Tool Spindles", Transactions of the JSME, 63-361-30, p1-6, 1983.
- [15]. L. Ophey, "Entwicklung Walzgelageter Hochgeschwindigkeitsspindeln für Werkzeugmaschinen", TH Darmstadt 12-12, paper-Nr:10, p1-19, 1987.
- [16]. M. Neck, "PROGRAM-SPILAD", TH Aachen, 1988.
- [17]. G.Spar, A.Kirchheim, C.H.Lee, "Berechnung von Spindel-Lager-Systmen: 主軸 Bearing系 算·的 計算", ZfF 85(1990)1, p35-39, 1990.
- [18]. G.Spar, "Optimierungsstrategie zum Auslegen von Werkzeugmaschinen Spindeln: 工作機械 主軸設計를 위한 最適化 策略", Werkstatt und Betrieb 123(1990)12, p205-222, 1990.
- [19]. 吉田富太郎 "切削加工の高速化とその課題" 運用機械工具, p60-68, 1986-1.
- [20]. FANUC LTD, "FANUC AC Servo Drive 仕様書", p-45012/01, 1987.
- [21]. 丸善社, "工作機械의 高速化의 現実" 第14回 日本 工作機械 設計者 会議資料, A2-1, 1984.
- [22]. NTN co, "NTN エアオイル 軸滑 ユニット", Cat No. 1503, 資料.